

**TUGAS AKHIR**  
**PENGARUH INDEKS KETIDAKBERATURAN VERTIKAL STRUKTUR**  
**GEDUNG BETON BERTULANG DENGAN TIPE STEPPED SETBACK**  
**TERHADAP RASIO TINGKAT KERUSAKAN STRUKTUR**  
**(*DAMAGE INDEX RATIO*)**



Disusun oleh:  
**Rizzalul Al Amin**  
**20200110089**

**PROGAM STUDI TEKNIK SIPIL**  
**FAKULTAS TEKNIK**  
**UNIVERSITAS MUHAMMADIYAH YOGYAKARTA**  
**2024**

**TUGAS AKHIR**  
**PENGARUH INDEKS KETIDAKBERATURAN VERTIKAL STRUKTUR**  
**GEDUNG BETON BERTULANG DENGAN TIPE STEPPED SETBACK**  
**TERHADAP RASIO TINGKAT KERUSAKAN STRUKTUR**  
**(*DAMAGE INDEX RATIO*)**

Diajukan untuk memenuhi sebagian persyaratan mencapai derajat sarjana S1 pada  
Progam Studi Teknik Sipil Fakultas Teknik Universitas Muhammadiyah  
Yogyakarta



Disusun oleh:

**Rizzalul Al Amin**

**20200110089**

**PROGAM STUDI TEKNIK SIPIL**  
**FAKULTAS TEKNIK**  
**UNIVERSITAS MUHAMMADIYAH YOGYAKARTA**  
**2024**

## HALAMAN PERNYATAAN

Saya yang bertanda tangan di bawah ini:

Nama : Rizzalul Al Amin

NIM : 20200110089

Judul : Pengaruh Ketidakberaturan Vertikal Struktur Gedung Beton Bertulang dengan tipe Stepped Setback terhadap Rasio Tingkat Kerusakan Struktur (*Damage Index Ratio*)

Menyatakan bahwa Tugas Akhir ini merupakan bagian dari penelitian payung dosen pembimbing yang berjudul pengaruh indeks ketidakberaturan vertical struktur gedung beton bertulang dengan tipe *stepped setback* terhadap rasio tingkat kerusakan struktur (*Damage Index Ratio*) dan didanai melalui skema Hibah Penelitian Internal Batch 1B LRI UMY pada tahun 2024 oleh Universitas Muhammadiyah Yogyakarta Tahun Anggaran 2023/2024 dengan nomor hibah 50/R-LRI/XII/2023.

Yogyakarta, 12 Juni 2024

Penulis



Rizzalul Al Amin

Dosen Penekiti

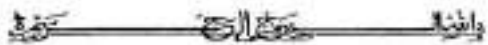
Ir. Taufiq Ilham Maulana, S.T.,  
M.Eng., Ph. D(Eng.)

## **HALAMAN PERSEMBAHAN**

Alhamdulillahi Rabbil'Alamin, syukur atas rahmat dan karunia Allah SWT yang telah memberikan kelancaran kepada saya dalam mengerjakan Tugas Akhir ini sehingga saya dapat menyelesaikan Tugas Akhir ini. Shalawat serta salam selalu terlimpahkan kepada Nabi Muhammad SAW. Dalam setiap langkah saya berusaha mewujudkan harapan-harapan yang diimpikan. Puji syukur berkat doa dari keluarga dan kerabat Tugas Akhir ini dapat terselesaikan dengan baik. Tugas Akhir ini saya persembahkan kepada:

1. Allah SWT yang telah memberikan kelancaran dan kemudahan dalam menyelesaikan Tugas Akhir ini.
2. Kedua orang tua saya yang telah memberikan dukungan dan pengorbanan yang luar biasa. Tugas Akhir ini adalah karya saya sebagai tanda bakti, hormat dan rasa terimakasih yang tak terhingga. Semoga ini menjadi langkah awal untuk membuat kedua orang tua saya bangga dan bahagia.
3. Saudara-saudara yang saya sayangi. Terimakasih saya ucapkan dengan segenap hati karena atas semua dukungan, saying, cinta, dan doa kalian yang selalu kalian curahkan dan limpahkan kepada saya.
4. Mahasiswa pemilik NIM 202216020 yang telah membersamai penulisan pada hari-hari yang tidak mudah selama proses penggerjaan Tugas Akhir. Terimakasih telah menjadi bagian dari perjalanan saya hingga sekarang ini.
5. Diri saya sendiri yang telah berjuang dengan titik darah penghabisan. Sebelumnya berkata saya tidak akan bisa, namun akhirnya mencoba dan percaya pada proses. Akhirnya dapat menyelesaikan Tugas Akhir ini.
6. Teman-teman seperjuangan yang selalu memberikan semangat kepada penulis untuk menyelesaikan Tugas Akhir ini dan seluruh pihak yang turut berpartisipasi membantu penulis dalam menyelesaikan penulisan Tugas Akhir ini.

## PRAKATA



*Assalamu'alaikum warahmatullahi wabarakatuh*

Segala puji bagi Allah SWT Yang Menguasai segala sesuatu, Sholawat dan salam selalu tercurahkan kepada Rasulullah SAW beserta keluarga dan sahabat-sahabatnya.

Tugas akhir ini disusun sebagai salah satu syarat untuk memperoleh gelar Sarjana Teknik pada Jurusan Teknik Sipil Fakultas Teknik Universitas Muhammadiyah Yogyakarta. Penelitian ini ditujukan untuk mengetahui pengaruh indeks ketidakberaturan vertikal struktur gedung beton bertulang dengan tipe tower setback terhadap rasio kerusakan struktur.

Selama penyusunan Tugas Akhir ini penyusun mendapat bantuan, bimbingan, dan dorongan dari berbagai pihak sehingga dapat terselesaikan dengan baik. Penulis ingin menyampaikan rasa terima kasih atas dukungan dari berbagai pihak yakni kepada:

1. Bapak Ir. Puji Harsanto, S.T., M.T., Ph.D. selaku Ketua Program Studi Teknik Sipil Fakultas Teknik Universitas Muhammadiyah Yogyakarta.
2. Bapak Ir. Taufiq Ilham Maulana, S.T., M.Eng., Ph.D. (Eng.) selaku Dosen Pembimbing Tugas Akhir.
3. Bapak Ir. Muhammad Ibnu Syamsi, S.T., M.Eng., Ph.D. selaku dosen penguji tugas akhir.
4. Seluruh dosen yang telah mendidik dan mengajar penulis selama perkuliahan, seluruh staff dan pegawai Fakultas Teknik Universitas Muhammadiyah Yogyakarta.
5. Kedua Orang Tua dan seluruh keluarga yang senantiasa mendoakan dan mendukung serta selalu memberi motivasi dan semangat selama menyelesaikan Tugas Akhir.
6. Mahasiswa pemilik NIM 202216020 yang telah membersamai penulisan pada hari-hari yang tidak mudah selama proses penggerjaan Tugas Akhir. Terimakasih telah menjadi bagian dari perjalanan saya hingga sekarang ini.

7. Teman-teman seperjuangan yang selalu memberikan semangat kepada penulis untuk menyelesaikan Tugas Akhir ini
8. Seluruh pihak yang turut berpartisipasi membantu penulis dalam dalam menyelesaikan penulisan skripsi ini.

Akhirnya, setelah segala kemampuan dicurahkan serta diiringi dengan doa untuk menyelesaikan tugas akhir ini hanya kepada Allah SWT semua dikembalikan.  
*Wassalamu 'alaikum warahmatullahi wabarakatuh.*

Yogyakarta, 12 Juni 2024



Rizzalul Al Amin

## DAFTAR ISI

LEMBAR PENGESAHAN TUGAS AKHIR .....	iii
HALAMAN PERNYATAAN .....	iv
HALAMAN PERSEMBAHAN .....	v
PRAKATA .....	vi
DAFTAR ISI.....	viii
DAFTAR TABEL.....	x
DAFTAR GAMBAR .....	xii
DAFTAR LAMPIRAN.....	xv
DAFTAR NOTASI.....	xvi
DAFTAR SINGKATAN .....	xix
DAFTAR ISTILAH .....	xx
ABSTRAK .....	xxi
BAB I .....	1
PENDAHULUAN.....	1
1.1      Latar Belakang.....	1
1.2      Rumusan Masalah.....	2
1.3      Lingkup Penelitian.....	2
1.4      Tujuan Penelitian .....	3
1.5      Manfaat Penelitian .....	3
BAB II .....	4
TINJAUAN PUSTAKA DAN LANDASAN TEORI .....	4
2.1      Tinjauan Pustaka .....	4
2.2      Landasan Teori.....	24
BAB III.....	52
METODE PENELITIAN .....	52
3.1      Umum .....	52
3.2      Prosedur Penelitian .....	52
3.3      Studi Literatur.....	54
3.4      Verifikasi Model.....	54
3.5      Pemodelan Struktur.....	56

3.6	Kuantifikasi Indeks Ketidakberaturan .....	57
3.7	Respons Spektrum di Indonesia sesuai SNI 1726:2019 .....	59
3.8	Parameter Indeks Kerusakan ( <i>Damage Index</i> ) .....	65
BAB IV.....		70
HASIL DAN PEMBAHASAN .....		70
4.1	Pendahuluan.....	70
4.2	Desain .....	70
4.3	Pembebatan .....	70
4.4	Perencanaan Elemen Struktur .....	74
4.5	Hasil Penelitian .....	75
4.6	<i>Damage Index Ratio</i> (Park & Ang, 1985) .....	77
4.7	Kuantifikasi Indeks Ketidakberaturan Struktur dengan <i>Damage Index</i> .....	79
BAB V.....		91
KESIMPULAN DAN SARAN .....		91
5.1	Kesimpulan .....	91
5.2	Saran .....	92
DAFTAR PUSTAKA .....		94
LAMPIRAN .....		97

## DAFTAR TABEL

Tabel 2. 1 <i>Research GAP</i> Penelitian .....	20
Tabel 2. 2 Ketidakberaturan Vertikal pada Struktur (SNI 1726:2019) .....	26
Tabel 2. 3 Kategori Resiko Bangunan Gedung dan Non Gedung (SNI 1726:2019).....	34
Tabel 2. 4 Faktor Keutamaan Gempa, $I_e$ (SNI 1726:2019).....	37
Tabel 2. 5 Klasifikasi Situs (SNI 1726:2019) .....	39
Tabel 2. 6 Koefisien situs, $F_a$ (SNI 1726:2019) .....	42
Tabel 2. 7 Koefisien situs, $F_v$ (SNI 1726:2019) .....	42
Tabel 2. 8 Kategori desain seismik berdasarkan parameter respons percepatan pada periode pendek (SNI 1726:2019).....	45
Tabel 2. 9 Kategori desain seismik berdasarkan parameter respons percepatan pada periode 1 detik (SNI 1726:2019) .....	45
Tabel 3. 1 Spesifikasi Beton .....	55
Tabel 3. 2 Spesifikasi Baja.....	55
Tabel 3. 3 Damage Index untuk bangunan beton bertulang (Park dan Ang, 1985).....	66
Tabel 4. 1 Berat per lantai .....	71
Tabel 4. 2 Acuan Penggambaran Respon Spektra sesuai SNI 1726:2019 .....	74
Tabel 4. 3 Hasil $\phi_s$ dan $\phi_b$ pada Model 1 .....	76
Tabel 4. 4 Hasil $\phi_s$ dan $\phi_b$ pada Model 2 .....	76
Tabel 4. 5 Hasil $\phi_s$ dan $\phi_b$ pada Model 3 .....	77
Tabel 4. 6 Hasil $\phi_s$ dan $\phi_b$ pada Model 4 .....	77
Tabel 4. 7 Indeks Kerusakan Untuk Beton Bertulang .....	78
Tabel 4. 8 Hasil <i>Damage Index</i> pada Model 1 .....	79
Tabel 4. 9 Hasil <i>Damage Index</i> pada Model 2 .....	79
Tabel 4. 10 Hasil <i>Damage Index</i> pada Model 3 .....	79
Tabel 4. 11 Hasil <i>Damage Index</i> pada Model 4 .....	79
Tabel 4. 12 Kuantifikasi indeks ketidakberaturan, <i>damage index ratio (DI)</i> , dan <i>damage index prediction (DI<sub>Pred</sub>)</i> , ( $\phi_s = 1,036$ ).....	80

Tabel 4. 13 Kuantifikasi indeks ketidakberaturan, <i>damage index ratio (DI)</i> , dan <i>damage index prediction (DIPred)</i> ( $\phi_s = 1,095$ ) .....	80
Tabel 4. 14 Kuantifikasi indeks ketidakberaturan, <i>damage index ratio (DI)</i> , dan <i>damage index prediction (DIPred)</i> ( $\phi_s = 1,214$ ) .....	81
Tabel 4. 15 Kuantifikasi indeks ketidakberaturan, <i>damage index ratio (DI)</i> , dan <i>damage index prediction (DIPred)</i> ( $\phi_s = 1,214$ ).....	81
Tabel 4. 16 Model prediksi 1 dan prediksi 2 mode 8 lantai .....	83
Tabel 4. 17 Hasil $DI_{stera}$ , $DI_{pred}$ dan <i>error</i> model 8 lantai .....	84
Tabel 4. 18 Kuantifikasi indeks ketidakberaturan, <i>damage index ratio (DI)</i> , dan <i>damage index prediction (DIPred)</i> , ( $\phi_s = 1,018$ ) .....	85
Tabel 4. 19 Kuantifikasi indeks ketidakberaturan, <i>damage index ratio (DI)</i> , dan <i>damage index prediction (DIPred)</i> , ( $\phi_s = 1,045$ ).....	85
Tabel 4. 20 Kuantifikasi indeks ketidakberaturan, <i>damage index ratio (DI)</i> , dan <i>damage index prediction (DIPred)</i> , ( $\phi_s = 1,091$ ).....	86
Tabel 4. 21 Kuantifikasi indeks ketidakberaturan, <i>damage index ratio (DI)</i> , dan <i>damage index prediction (DIPred)</i> , ( $\phi_s = 1,182$ ).....	86
Tabel 4. 22 kuantifikasi indeks ketidakberaturan, <i>damage index ratio (DI)</i> , dan <i>damage index prediction (DIPred)</i> , ( $\phi_s = 1,455$ ).....	87
Tabel 4. 23 Model prediksi 1 dan prediksi 2 model 12 lantai.....	89
Tabel 4. 24 Hasil $DI_{stera}$ , $DI_{pred}$ dan <i>error</i> model 12 lantai .....	90
Tabel 5. 1 Hasil analisis regresi $R^2$ .....	92

## DAFTAR GAMBAR

Gambar 2. 1 Struktur rangka umum model <i>stepped setback</i> . ....	4
Gambar 2. 2 Konfigurasi struktur bangunan yang berbeda tampilan denah X-Z ...	5
Gambar 2. 3 Bangunan <i>Setback</i> Tipe 1 dan 2 .....	6
Gambar 2. 4 Pemodelan rangka tanpa <i>setback</i> dan <i>setback</i> tampak atas.....	8
Gambar 2. 5 Ketidakteraturan geometri vertikal menurut: (a) IS: 1893-2016, (b) ASCE 7.05-2005 dan (c) Kode Euro 8-2004 .....	9
Gambar 2. 6 Pemodelan rangka dengan <i>stepped setback</i> dan <i>towered setback</i> ....	10
Gambar 2. 7 Model 3D dengan ketidakteraturan <i>setback</i> : (a) <i>Setback Atas</i> ; (b) <i>Setback Tengah</i> ; (c) <i>Setback Bawah (BSB)</i> .....	11
Gambar 2. 8 Bangunan tanpa <i>setback</i> dan dengan <i>setback</i> .....	12
Gambar 2. 9 Perbedaan konfigurasi struktural bangunan <i>setback</i> .....	14
Gambar 2. 10 Model bangunan tanpa <i>setback</i> , <i>stepped setback</i> , dan <i>towered</i> <i>setback</i> .....	15
Gambar 2. 11 Geometri <i>setback</i> yang di pertimbangkan dalam penelitian .....	16
Gambar 2. 12 Pemodelan <i>setback</i> ketidakberaturan struktur.....	18
Gambar 2. 13 Rangka bangunan penuh dan <i>setback</i> .....	19
Gambar 2. 14 Ketidakberaturan Vertikal .....	28
Gambar 2. 15 Lebar efektif maksimum balok lebar ( <i>wide beam</i> ) dan persyaratan tulangan transversal .....	30
Gambar 2. 16 Distribusi $V_s$ 30 wilayah Denpasar.....	38
Gambar 2. 17 Peta sebaran magnitudo sumber gempa <i>Shallow Crustal</i> untuk Sa 0.2s dengan perioda ulang gempa 2500 tahun.....	40
Gambar 2. 18 Peta sebaran <i>source distance</i> sumber gempa <i>Shallow Crustal</i> untuk Sa 0.2s dengan perioda ulang gempa 2500 tahun. ....	41
Gambar 2. 19 Spektrum respons desain.....	44
Gambar 2. 20 Parameter gerak tanah, SS, gempa maksimum yang dipertimbangkan resiko-tertarget (MCER) wilayah Indonesia spektrum respons 0,2 detik (redaman kritis 5%) pada kelas situs BC (SBC).....	46
Gambar 2. 21 Parameter gerak tanah, S1, gempa maksimum yang dipertimbangkan resiko-tertarget (MCER) wilayah Indonesia	

spektrum respons 1 detik (redaman kritis 5%) pada kelas situs BC (SBC).....	46
Gambar 2. 22 PGA. Gempa maksimum yang dipertimbangkan rata-rata geometrik (MCEG) wilayah Indonesia. ....	47
Gambar 2. 23 Contoh pemodelan menggunakan STERA_3D.....	49
Gambar 2. 24 Titik data didekati dengan garis lurus dan lengkung.....	51
Gambar 3. 1 <i>Flowchart</i> Penelitian .....	53
Gambar 3. 2 Desain Kolom.....	54
Gambar 3. 3 Desain Balok .....	55
Gambar 3. 4 Pemodelan menggunakan <i>STERA_3D</i> .....	56
Gambar 3. 5 Pemodelan dengan <i>SAP2000</i> .....	57
Gambar 3. 6 Batasan kode ketidakberaturan <i>setback</i> : (a) IS 1893:2022, (b) ASCE 7:2005 .....	58
Gambar 3. 7 Geometri untuk definisi indeks ketidakberaturan .....	59
Gambar 3. 8 Respons Spektrum daerah Kota Denpasar tanah sedang (SD).....	59
Gambar 3. 9 Peta sebaran magnitudo sumber gempa <i>Shallow Crustal</i> untuk Sa 0.2s dengan perioda ulang gempa 2500 tahun (Pusat Studi Gempa Nasional, 2022) .....	60
Gambar 3. 10 Peta sebaran source distance sumber gempa <i>Shallow Crustal</i> untuk Sa 0.2s dengan perioda ulang gempa 2500 tahun.....	61
Gambar 3. 11 Catatan gempa RSN194_IMPVAL.A_A-BRA225.AT2.....	61
Gambar 3. 12 Catatan gempa RSN218_LIVERMOR_B-ANT270.AT2.....	61
Gambar 3. 13 Catatan gempa RSN544_CHALFANT.B_B-LAD180.AT2.....	62
Gambar 3. 14 Catatan gempa RSN562_CHALFANT.B_D-LAD270.AT2 .....	62
Gambar 3. 15 Catatan gempa RSN1748_NWCHINA1_JIA000.AT2.....	62
Gambar 3. 16 Catatan gempa RSN4078_PARK2004_COA090.AT2.....	62
Gambar 3. 17 Catatan gempa RSN4330_SICORIEN.P_CPI000.AT2 .....	62
Gambar 3. 18 Catatan gempa RSN8633_40204628_N1796HNE.AT2.....	63
Gambar 3. 19 Catatan gempa RSN8654_40204628_N1831HNE.AT2.....	63
Gambar 3. 20 Catatan gempa RSN8654_40204628_N1831HNN.AT2 .....	63
Gambar 3. 21 Catatan gempa RSN9051_14151344_CIMGEHLN.AT2.....	63

Gambar 3. 22 Perbandingan input gempa dengan target spektrum sebelum dicocokkan.....	64
Gambar 3. 23 Perbandingan input gempa dengan target spektrum setelah dicocokkan.....	65
Gambar 3. 24 Hubungan gaya dan deformasi member.....	66
Gambar 3. 25 Ilustrasi komponen indeks kerusakan dan tingkat indeks kerusakan pada suatu struktur rangka (Maulana <i>et al.</i> , 2021).....	69
Gambar 4. 1 Pemodelan <i>SAP2000</i> .....	70
Gambar 4. 2 Hasil <i>running</i> pada <i>SAP2000</i> .....	71
Gambar 4. 3 Peta gempa untuk penentuan nilai percepatan periode pendek .....	72
Gambar 4. 4 Peta gempa untuk penentuan nilai percepatan periode pendek 1 detik .....	73
Gambar 4. 5 Hubungan Gaya dengan Deformasi .....	78
Gambar 4. 6 Grafik hubungan <i>damage index (DI)</i> dan <i>damage index prediction (DIPred)</i> terhadap indeks ketidakberaturan ( $\phi_b$ ), 8 lantai .....	82
Gambar 4. 7 Desain prediksi pada <i>STERA_3D</i> model 8 lantai .....	84
Gambar 4. 8 Grafik hubungan <i>damage index (DI)</i> dan <i>damage index prediction (DIPred)</i> terhadap indeks ketidakberaturan ( $\phi_b$ ), 12 lantai. ....	88
Gambar 4. 9 Desain prediksi pada <i>STERA_3D</i> model 12 lantai .....	89

## **DAFTAR LAMPIRAN**

Lampiran 1 Pemodelan Bangunan .....	97
1. Pemodelan pada <i>STERA_3D</i> .....	97
a. Pendefisian Kolom dan Balok .....	97
b. Desain pada <i>STERA_3D</i> dan Proses <i>Running</i> .....	98
2. Pemodelan pada <i>AutoCAD</i> .....	99
a. Model 8 Lantai .....	99
b. Model 12 Lantai .....	100
3. Pemodelan pada <i>SAP2000</i> .....	101
Lampiran 2 Data Gempa dan Respon Spektrum.....	102
1. Distribusi $V_s30$ .....	102
2. Respon Spektrum Denpasar, Bali .....	102
3. 11 Catatan Gempa sebelum dan setelah dicocokkan .....	103
4. Data 11 Catatan Gempa .....	104
5. Acceleration .....	104
Lampiran 3 Data Excel .....	106
1. Regresi Model 8 Lantai.....	106
2. Regresi Model 12 Lantai.....	108
Lampiran 4 Data Grafik Regresi .....	112
1. Model 8 Lantai .....	112
2. Model 12 Lantai .....	114

## DAFTAR NOTASI

$\psi$	: Indeks ketidakberaturan (Rathnasiri <i>et al.</i> , 2023).
$f_y$	: Tegangan leleh pada baja, $MPa$ .
$\rho_{\text{maksimum}}$	: Rasio tulangan lentur maksimum.
$f_c'$	: Kuat tekan beton, $MPa$ .
$E$	: Beban gempa.
$E_h$	: Beban gempa horizontal.
$E_v$	: Beban gempa vertikal.
$P$	: Faktor redundansi gempa.
$Q_E$	: Gempa horizontal dari $V$ atay $F_p$ .
$S_{DS}$	: Percepatan respons spektrum pada perioda pendek
$D$	: Pengaruh beban mati.
$\theta$	: Rotasi total pada sambungan elemen.
$\delta_x$	: Deformasi elemen pada arah x.
$\tau$	: Rotasi elemen elastis.
$\phi$	: Rotasi elemen nonlinier akibat pembengkokan.
$\eta$	: Rotasi elemen nonlinier akibat geser.
$R^2$	: Koefesien determinasi.
$Y_i$	: Nilai variabel asli.
$Y_{pred.I}$	: Nilai variabel predensi.
$\bar{Y}_i$	: Nilai rata-rata variabel asli.
$ns$	: Jumlah lantai.
$nb$	: Jumlah panel.
$L_i$	: Tinggi lantai, m.
$H_i$	: Panjang bentang, m.
$\phi_s$	: Indeks ketidakberaturan (Karavasilis <i>et al.</i> , 2008).
$\phi_b$	: Indeks ketidakberaturan (Karavasilis <i>et al.</i> , 2008).
$\Gamma_1$	: Faktor partisipasi moda ke-1 untuk bangunan <i>irreguler</i> .
$\Gamma_{ref}$	: Faktor partisipasi moda ke-1 untuk bangunan reguler.
$T$	: Waktu, d.
$T_{lower}$	: Periode getar saat 90% partisipasi massa <i>actual</i> yang telah

	terpenuhi pada masing-masing respons dua arah <i>orthogonal</i> . Untuk menghitung $T_{lower}$ harus memperhitungkan efek <i>P-delta</i> dengan tidak memperhitungkan torsi yang tidak terduga.
$T_{upper}$	: Nilai periode getar yang paling besar diantara dua nilai fundamental <i>orthogonal</i> . Untuk menghitung $T_{upper}$ hatus memperhitungkan efek <i>P-delta</i> dengan tidak memperhitungkan torsi yang tidak terduga.
$U_m$	: Respon perpindahan maksimum elemen struktur akibat gempa.
$U_u$	: Kapasitas perpindahan maksimum pada pembebanan <i>monotonic</i> .
$E_h$	: Energi histeretik dihamburkan oleh elemen struktur.
$F_y$	: Kekuatan hasil.
$B$	: Parameter non-negatif berdasarkan efek pembebanan berulang.
$\mu_u$	: Faktor daktalitas ultimit.
$u_y$	: Hasil perpindahan.
$l/d$	: Rasio bentang geser = 1,7 (jika $l/d$ kurang dari 1,7).
$n_0$	: Tegangan aksial yang dinormalisasi = 0,2 (jika $n_0$ kurang dari 0,2).
$p_t$	: Rasio batang memanjang, dalam persentase = 0,75% (jika $p_t$ kurang dari 0,75%).
$p_w$	: Rasio batang transversal,
$N$	: Beban aksial, kN.
$b$	: Lebar penampang, m.
$d$	: Ketinggian efektif penampang, m.
$i$	: Jumlah anggota elemen, mulai dari 1.
$j$	: Jumlah lantai, mulai dari 1.
$n_k$	: Jumlah total lantai bangunan,
$n_m$	: Jumlah anggota unsur (balok dan kolom) pada cerita yang ditinjau.
$DI_{i,component}$	: Indeks kerusakan tiap komponen seperti balok dan kolom.
$DI_{story}$	: Indeks kerusakan untuk setiap lantai.
$DI_{overall}$	: Indeks kerusakan keseluruhan.
$\lambda_{i,component}$	: Faktor bobot masing-masing komponen.

$\lambda j_{,story}$	: Faktor pembobotan setiap lantai.
$M$	: Massa, kg.
$\ddot{u}$	: Percepatan, m/s <sup>2</sup> .
$C$	: Dumping.
$\dot{u}$	: Kecepatan, m/s.
$K$	: Kekakuan.
$u$	: Perpindahan, m.
$DI$	: <i>Damage index</i> .
$DI_{pred}$	: <i>Damage index prediction</i> .

## **DAFTAR SINGKATAN**

BNPB	: Badan Nasional Penanggulangan Bencana.
NSF	: <i>National Science Foundation.</i>
BJTS	: Baja Tulangan Sirip.
BJTP	: Baja Tulangan Polos.
RC	: <i>Reinforced Concrete.</i>
SRPMK	: Sistem Rangka Pemikul Momen Khusus.
SNI	: Standar Nasional Indonesia.
PEER	: <i>Pacific Earthquake Engineering Research Center.</i>

## **DAFTAR ISTILAH**

1. Kuantifikasi  
Pernyataan penjumlahan angka.
2. Kuantitas  
Ukuran nilai atau jumlah hasil dari pengrajaan yang dicapai.
3. Konstruksi  
Teknik pembangunan berupa bangunan gedung dan bangunan sipil, khususnya dengan disiplin profesional yang bisa digunakan untuk mendesain dan membangun infrastruktur.
4. Deformasi  
Perubahan bentuk atau ukuran dari sebuah objek.
5. Fleksibel  
Ungkapan yang cocok untuk menggambarkan kelenturan.
6. Koefisien Determinasi  
Angka antara 0 dan 1 yang mengukur seberapa baik model statistik memprediksi suatu hasil.
7. Regresi  
Metode statistik yang digunakan dalam bidang keuangan untuk menentukan atau menganalisis karakter hubungan antara satu variabel dependen dan serangkaian variabel lain atau *independent*.
8. Polinomial  
Model matematika yang terdiri dari variabel dan konstanta dengan menggunakan operasi aritmatika seperti penjumlahan, pengurangan dan perkalian.